Магнитные свойства, кинетические явления и волны зарядовой плотности в ВТСП купратах

Ларионов И.А.

Казанский Федеральный Университет, г. Казань, Россия НИТУ «МИСиС», г. Москва, Россия

I.A.Larionov, Phys. Rev. B **69**, 214525 (2004); Phys. Rev. B **72**, 094505 (2005); ЖЭТФ **127**, 1123 (2005); Phys. Rev. B **76**, 224503 (2007); Solid State Comm. **208**, 29 (2015);

И.А. Ларионов и А.Ф. Барабанов, Письма в ЖЭТФ, 100, 811 (2014)

I.A.Larionov and M.V. Eremin, J. Supercond. **15**, 389 (2002); Journal of Magnetism and Magnetic Materials **272–276**, 181 (2004)

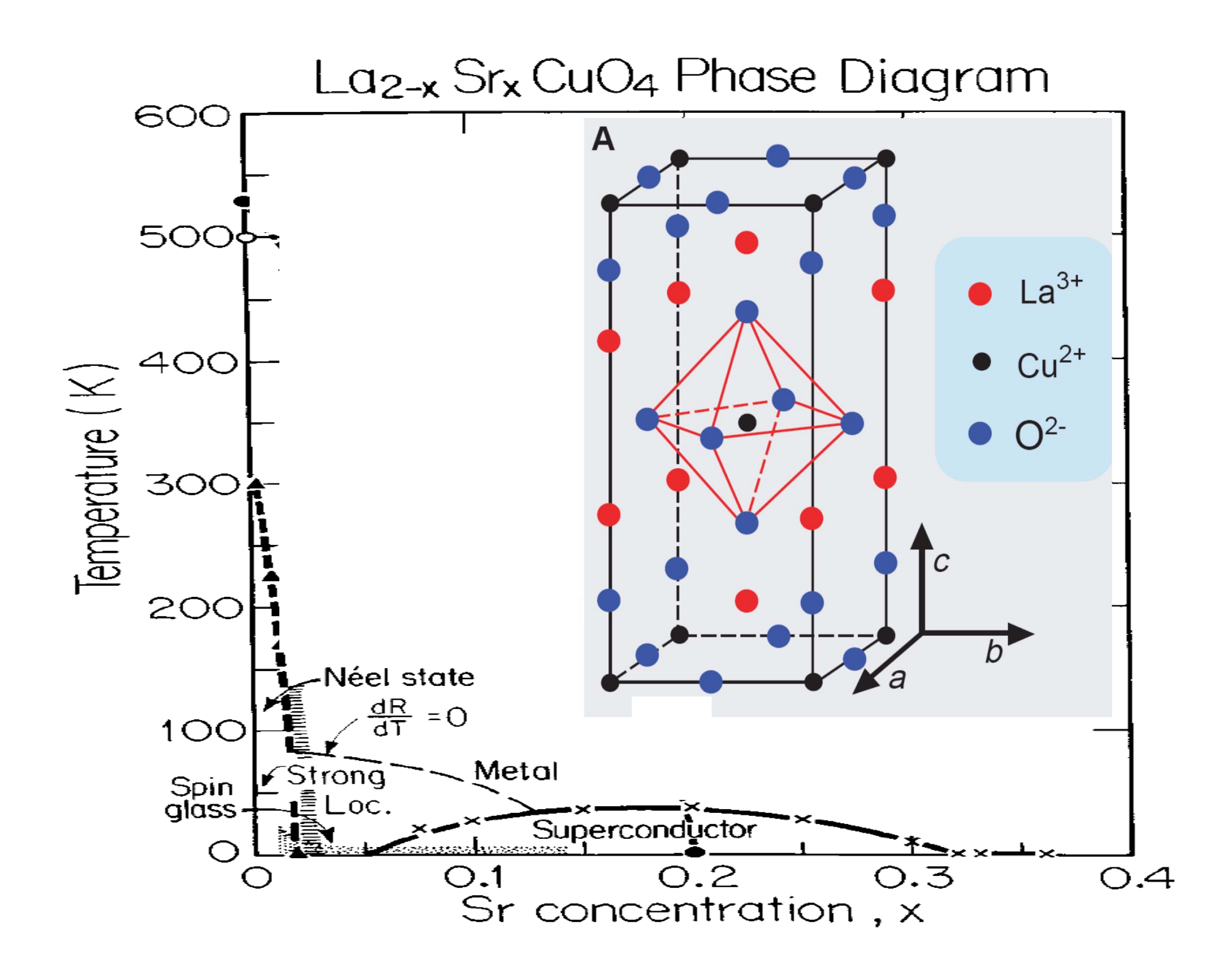
XIV школа-конференция "Проблемы физики твердого тела и высоких давлений", "Идеи и методы физики конденсированного состояния", г.Сочи, 11-20 сентября 2015

Motivation:

- Меднооксидные сверхпроводники допированные двумерные Гейзенберговские антиферромагнетики со спином S=1/2.
- Это происходит со спиновыми волнами при введении небольшого количества носителей заряда? Элементарные возбуждения парамагноны? и каково время их жизни при введении небольшого количества носителей заряда?
- Численно точные методы применимы только к малым кластерам и трудно применимы для расчета динамических величин
- Метод релаксационных функций является непредвзятым для волновых векторов $q\sim0$ и $Q=(\pi,\pi)$ в зоне Бриллюэна при расчете динамической спиновой восприимчивости $\chi''(\mathbf{q},\omega)$
- "By itself the Markovian situation can be valid even in the absence of any picture of the system in terms of well-defined excitations" U.Balucani, M.H. Lee and V.Tognetti, Phys. Rep. 373 (2003) 409
- Как объяснить поведение термо-ЭДС как функцию температуры?
- Волны зарядовой плотности (ВЗП корреляции) выше $T_{\rm c}$ и около х \approx 1/8

Outline

- Введение
- Основные соотношения и метод релаксационных функций
- А) Динамическая спиновая восприимчивость в приближении незатухающих элементарных возбуждений парамагнонного вида
- В) Лорентцева форма для динамической спиновой восприимчивости с затуханием элементарных возбуждений парамагнонного вида
- Сравнение с экспериментальными данными: неупругого рассеяния нейтронов, Ядерного Магнитного Резонанса (ЯМР) и резонансного неупругого рассеяния рентгеновских лучей (RIXS)
- Электросопротивление, коэффициент Холла и термо-ЭДС
- Волны зарядовой плотности около х≈1/8
- Заключение



Гамильтониан t-J модели:

$$H = \sum_{ij\sigma} t_{ij} X_i^{\sigma 0} X_j^{0\sigma} + J \sum_{i>j} \left(\mathbf{S}_i \mathbf{S}_j - \frac{1}{4} n_i n_j \right)$$

 \mathbf{S}_i – операторы спина 1/2 на узле i, $X_i^{\sigma 0}$ - операторы рождения Хаббарда со спином σ .

$$X_i^{\sigma 0} = c_{i\sigma}^{\dagger} (1 - n_{i\overline{\sigma}});$$

 $J = 0.12 \ {
m 3B}$ — константа антиферромагнитного обменного взаимодействия. Интеграл перескока $t \ (=J/0.2)$ между первыми соседями, перенормируется электронными и антиферромагнитными корреляциями $=>t_{eff}$. Операторы спина и плотности:

$$S_i^{\sigma} = X_i^{\sigma\sigma}, \quad S_i^z = \frac{1}{2} \sum_{\sigma} \sigma X_i^{\sigma\sigma}, \quad n_i = \sum_{\sigma} X_i^{\sigma\sigma},$$

со стандартной нормировкой: $X_i^{00} + X_i^{++} + X_i^{--} = 1$

H. Mori [Prog. Theor. Phys. **34**, 399 (1965)]:

Эволюция динамической переменной, $S_{\mathbf{k}}^{z}(\tau)$ например,

$$\dot{S}_{\mathbf{k}}^{z}(\tau) \equiv \frac{dS_{\mathbf{k}}^{z}(\tau)}{d\tau} = iLS_{\mathbf{k}}^{z}(\tau)$$

где $iL... \rightarrow [H,...]$. Можно разделить $S_{\mathbf{k}}^{z}(\tau)$ на компоненты по отношению к $S_{\mathbf{k}}^{z} = S_{\mathbf{k}}^{z}(\tau = 0)$:

$$\wp_0 S_{\mathbf{k}}^z(\tau) = R(\mathbf{k}, \tau) \cdot S_{\mathbf{k}}^z$$

$$S_{\mathbf{k}}^{z}(\tau) = R(\mathbf{k}, \tau) \cdot S_{\mathbf{k}}^{z} + (1 - \wp_{0}) S_{\mathbf{k}}^{z}(\tau)$$

где \wp_0 – линейный эрмитовый оператор проектирования,

$$R(\mathbf{k}, \tau) \equiv (S_{\mathbf{k}}^{z}(\tau), (S_{-\mathbf{k}}^{z})^{*}) \cdot (S_{\mathbf{k}}^{z}, (S_{-\mathbf{k}}^{z})^{*})^{-1}$$
 - релаксационная функция,

$$(S_{\mathbf{k}}^{z}(\tau), (S_{-\mathbf{k}}^{z})^{*}) \equiv k_{B}T \int_{0}^{1/k_{B}T} d\varrho \left\langle \exp(\varrho H) S_{\mathbf{k}}^{z}(\tau) \exp(-\varrho H) (S_{-\mathbf{k}}^{z})^{*} \right\rangle$$

Связь функции Грина: $\langle\!\langle A;A^\dagger\rangle\!\rangle_E \equiv G_{AA^\dagger}(E) = (1/2\pi) \int_{-\infty}^{\infty} \mathrm{d}t \exp[\mathrm{i}(E/\hbar)t] G_{AA^\dagger}(t)$ и релаксационной

функции:
$$G_{AA^{\dagger}}(E = -\hbar\omega + i0^{+}) = (1/2\pi)[i\omega R_{AA^{\dagger}}(z = i\omega + 0^{+}) - R_{AA^{\dagger}}(t = 0)]$$

Применив преобразование Лапласа к релаксационной функции можно сконструировать представление для $R^L(\mathbf{k},s)$ в виде бесконечной дроби [В.И. Арнольд, Цепные дроби, 2001], которую Lovesey and Meserve, J.Phys.C 6, 79 (1973) оборвали на 3-м шаге:

$$R^{L}(\mathbf{k}, s) = \int_{0}^{\infty} d\tau e^{-s\tau} R(\mathbf{k}, \tau) \approx 1/\{s + \Delta_{1\mathbf{k}}^{2} / [s + \Delta_{2\mathbf{k}}^{2} / (s + 1/\tau_{\mathbf{k}})]\}$$

и ввели характерное время $\tau_{\mathbf{k}} = [2/(\pi \Delta_{2\mathbf{k}}^2)]^{1/2}$, аргументировав приближение слабой чувствительностью флуктуаций $S_{\mathbf{k}}^z(\tau)$ к характеру случайных сил более высоких порядков

$$\langle \omega_{\mathbf{k}}^n \rangle = \int_{-\infty}^{\infty} d\omega \ \omega^n F(\mathbf{k}, \omega) = \frac{1}{i^n} \left[\frac{d^n R(\mathbf{k}, \tau)}{d\tau^n} \right]_{\tau=0}^{\tau} - \text{моменты релаксационной функции}$$

$$\Delta_{1\mathbf{k}}^2 = \langle \omega_{\mathbf{k}}^2 \rangle, \quad \Delta_{2\mathbf{k}}^2 = \frac{\langle \omega_{\mathbf{k}}^4 \rangle}{\langle \omega_{\mathbf{k}}^2 \rangle} - \langle \omega_{\mathbf{k}}^2 \rangle, \qquad F(\mathbf{k}, \omega) = \frac{1}{\pi} \text{Re}[R^L(\mathbf{k}, i\omega)]$$

$$F(\mathbf{k}, \omega) = \frac{\tau_{\mathbf{k}} \Delta_{1\mathbf{k}}^2 \Delta_{2\mathbf{k}}^2 / \pi}{\left[\omega \tau_{\mathbf{k}} (\omega^2 - \Delta_{1\mathbf{k}}^2 - \Delta_{2\mathbf{k}}^2) \right]^2 + (\omega^2 - \Delta_{1\mathbf{k}}^2)^2}, \quad \text{-действительная часть}$$
 релаксационной функции

Детали расчета

$$\langle \omega_{\mathbf{k}}^2 \rangle = i \langle [\dot{S}_{\mathbf{k}}^z, S_{-\mathbf{k}}^z] \rangle / \chi(\mathbf{k}), \quad \langle \omega_{\mathbf{k}}^4 \rangle = i \langle [\ddot{S}_{\mathbf{k}}^z, \dot{S}_{-\mathbf{k}}^z] \rangle / \chi(\mathbf{k})$$

приведены в: I.A. Larionov, PRB 69, 214525 (2004)

χ "(\mathbf{k} , ω) — мнимая часть динамической спиновой восприимчивости

$$F(\mathbf{k},\omega) = \frac{\tau_{\mathbf{k}} \Delta_{1\mathbf{k}}^2 \Delta_{2\mathbf{k}}^2 / \pi}{\left[\omega \tau_{\mathbf{k}} (\omega^2 - \Delta_{1\mathbf{k}}^2 - \Delta_{2\mathbf{k}}^2)\right]^2 + (\omega^2 - \Delta_{1\mathbf{k}}^2)^2}, \quad \text{- действительная часть}$$
релаксационной функции

А) при пренебрежении затуханием:

$$\chi_F''(\mathbf{k},\omega) = \omega \chi(\mathbf{k}) F(\mathbf{k},\omega).$$

В) взаимодействие -> затухание возбуждений

$$\begin{split} \omega_{\mathbf{q}}^{sw} &= 2 \int_{0}^{\infty} d\omega \ \omega \ F(\mathbf{q}, \omega), \qquad \Gamma_{\mathbf{q}} = \sqrt{\langle \omega_{\mathbf{q}}^{2} \rangle - (\omega_{\mathbf{q}}^{sw})^{2}} \,, \\ \chi_{L}''(\mathbf{q}, \omega) &= \chi(\mathbf{q}) \Bigg(\frac{\omega \Gamma_{\mathbf{q}}}{[\omega - \omega_{\mathbf{q}}^{sw}]^{2} + \Gamma_{\mathbf{q}}^{2}} + \frac{\omega \Gamma_{\mathbf{q}}}{[\omega + \omega_{\mathbf{q}}^{sw}]^{2} + \Gamma_{\mathbf{q}}^{2}} \Bigg), \\ \text{при} \qquad |\ \mathbf{q}\ | > 1/\xi_{\textit{eff}} \end{split}$$

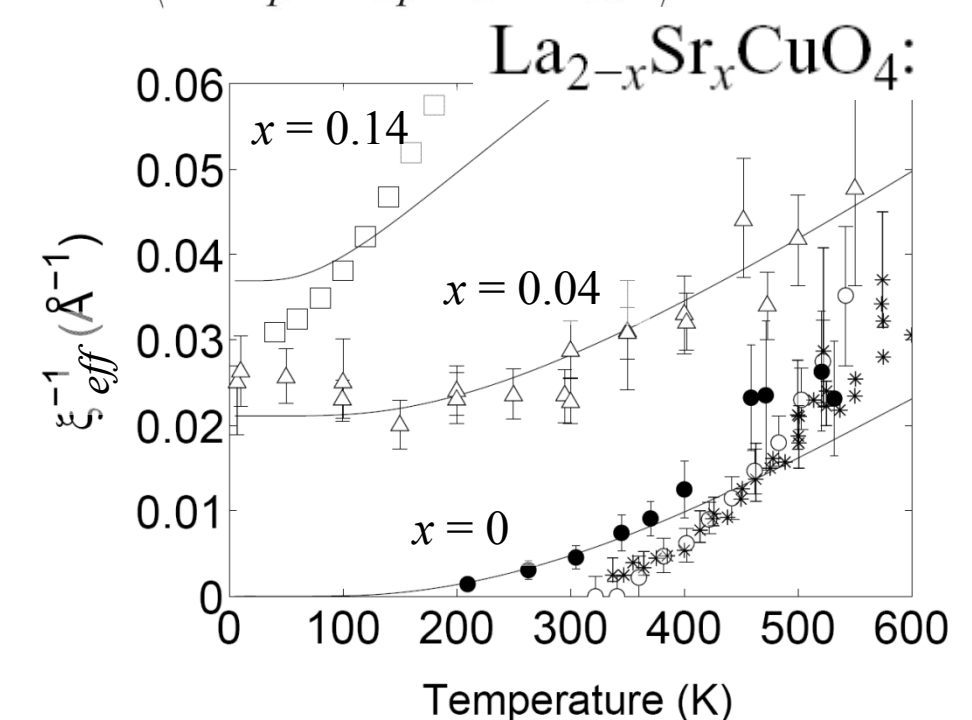
Статическая спиновая восприимчивость:

$$\chi(\mathbf{k}) = \frac{1}{4J\alpha(g_{+} + \gamma_{\mathbf{k}})},$$

Zavidonov and Brinkmann, Phys. Rev . B **58**, 12486 (1998):

$$c_1 = \frac{1}{4} \sum_{\rho} \langle S_i^z S_{i+\rho}^z \rangle$$
, Корреляционная длина ξ : $\frac{\xi}{a} = \frac{1}{2\sqrt{g_+ - 1}}$,

$$t_{\text{eff}} = t \left(p + \frac{2c_1}{p} - \frac{p^2}{2p - 1} I^2 + \frac{J}{2t} I \right) \qquad I \approx 2x$$



Zavidonov, IAL and Brinkmann, Phys. Rev . B **61**, 15462 (2000):
$$t_{\text{eff}} = t \left(p + \frac{2c_1}{p} - \frac{p^2}{2p-1} I^2 + \frac{J}{2t} I \right)$$

$$I \approx 2x$$

$$x = 0: c_1 = -0.1196, \alpha = 1.76$$

$$x = 0$$
: $c_1 = -0.1196$, $\alpha = 1.76$
 $x = 0.15$: $c_1 = -0.0596$, $\alpha = 1.23$

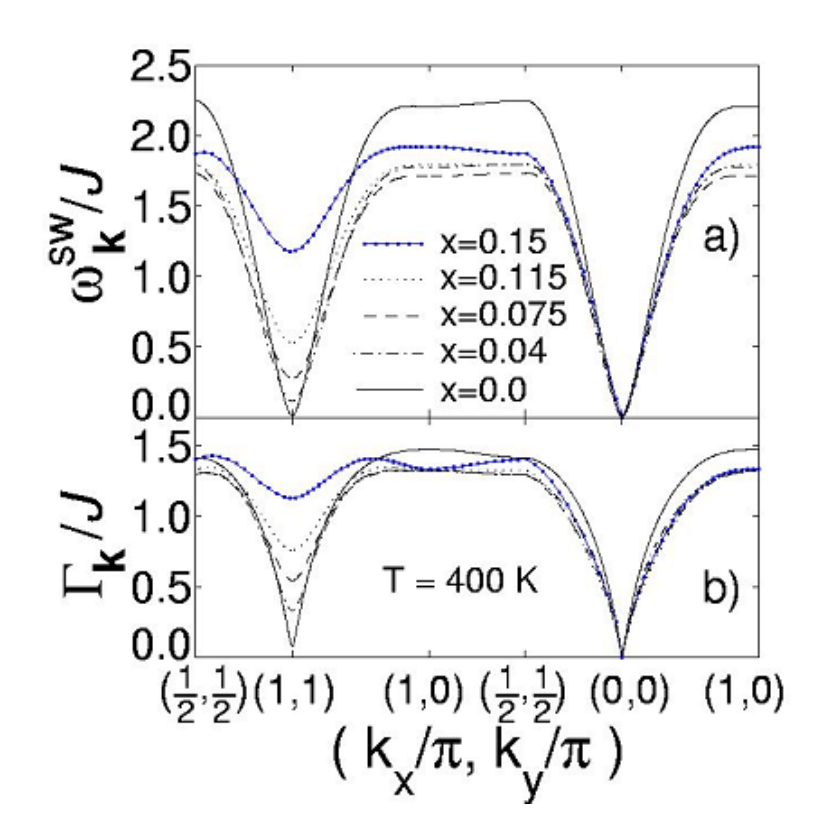
Малое допирование (x < 0.04):

$$g_{\underline{}}=16 \alpha c_{1}$$

$$\frac{\xi}{a} = \frac{J\sqrt{g_{\underline{}}}}{k_{B}T} \exp(2\pi\rho_{S}/k_{B}T)$$

эффективная корреляционная длина:

$$\xi_{\text{eff}}^{-1} = \xi_0^{-1} + \xi^{-1}. \quad \xi_0^{-1} = nx/a$$

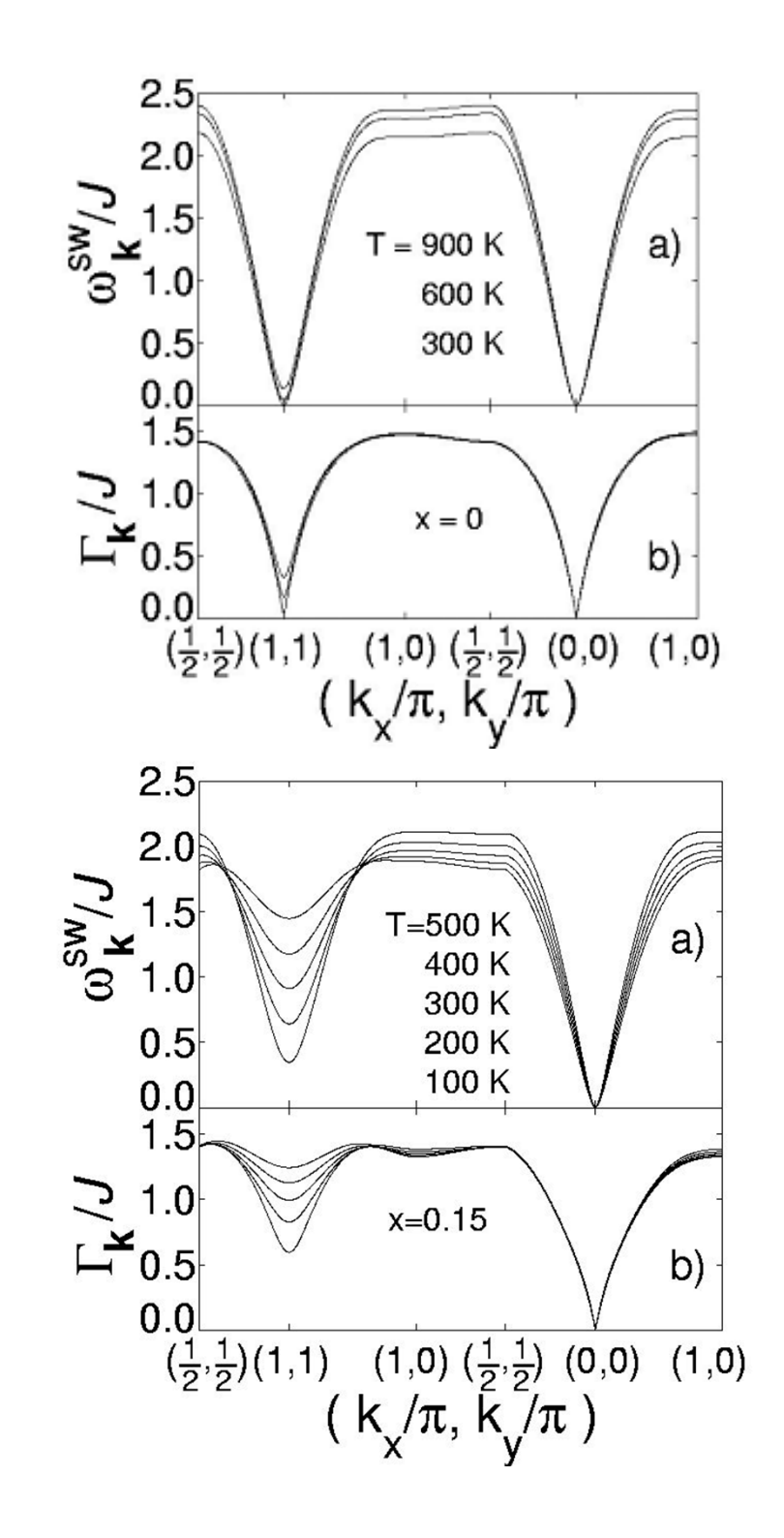


Дисперсия:

$$\omega_{\mathbf{k}}^{\text{sw}} = 2\int_{0}^{\infty} d\omega \ \omega \ F(\mathbf{k}, \omega),$$

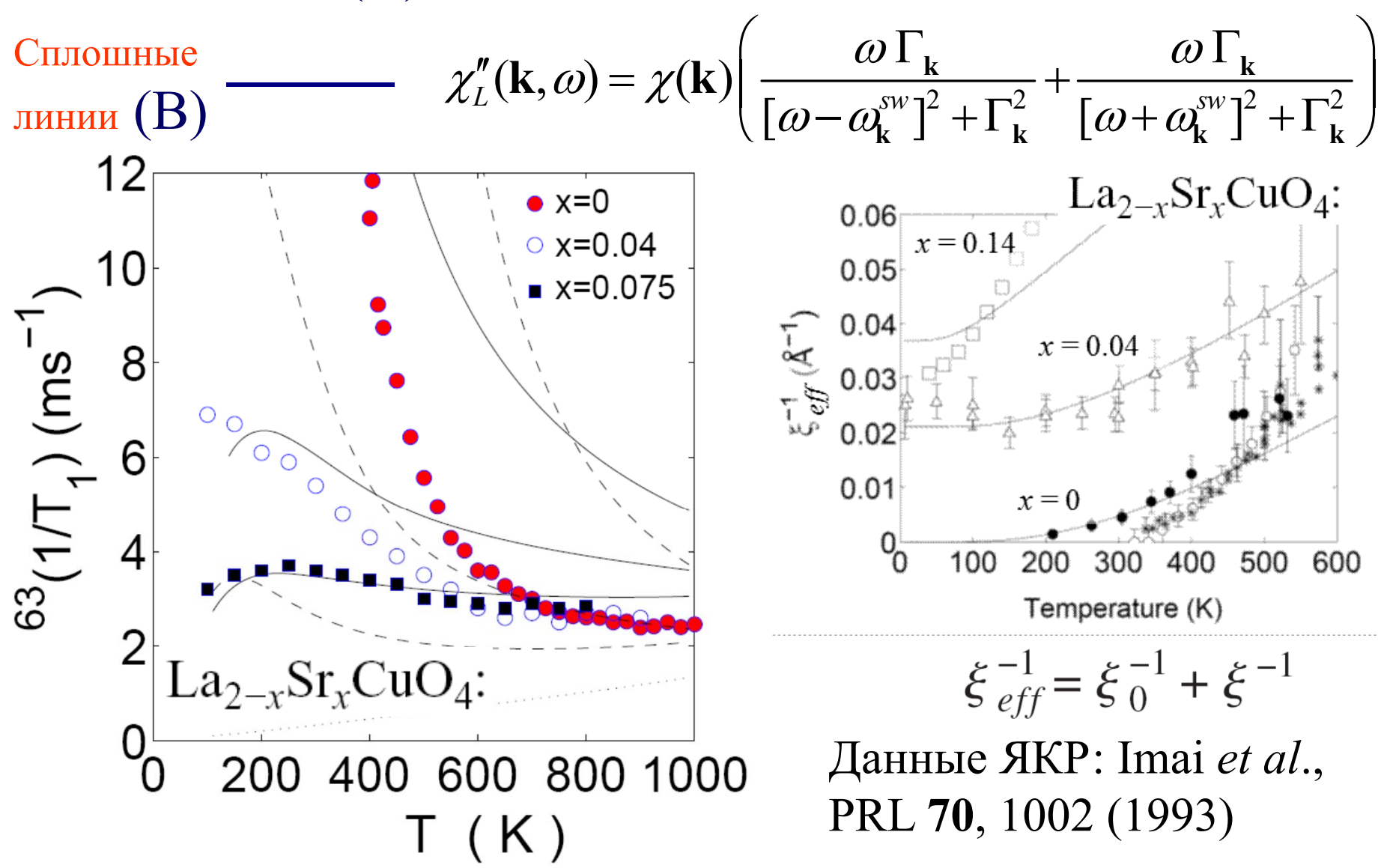
Затухание:

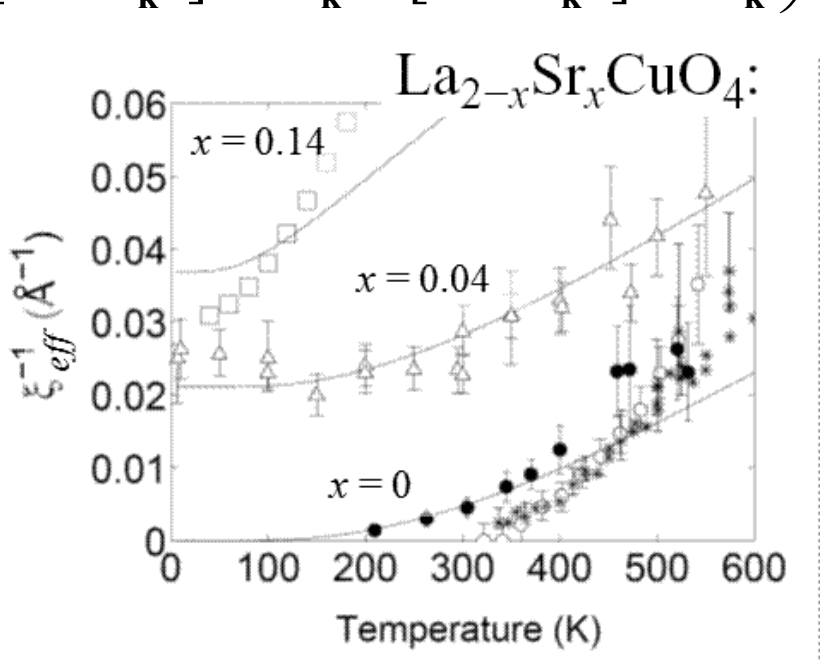
$$\Gamma_{\mathbf{k}} = \sqrt{\langle \omega_{\mathbf{k}}^2 \rangle - (\omega_{\mathbf{k}}^{\text{sw}})^2},$$



$$2W = {}^{63}(1/T_1) = \frac{2k_BT}{\omega_0} \sum_{\mathbf{k}} {}^{63}F(\mathbf{k})^2 \chi''(\mathbf{k}, \omega_0), \quad \text{- скорость спин-решеточной релаксации на ядрах меди}$$

Штриховые линии (A) - - - - -
$$\chi_F''(\mathbf{k}, \omega) = \omega \chi(\mathbf{k}) F(\mathbf{k}, \omega)$$
.





 $\xi_{\rho f f}^{-1} = \xi_{0}^{-1} + \xi^{-1}$

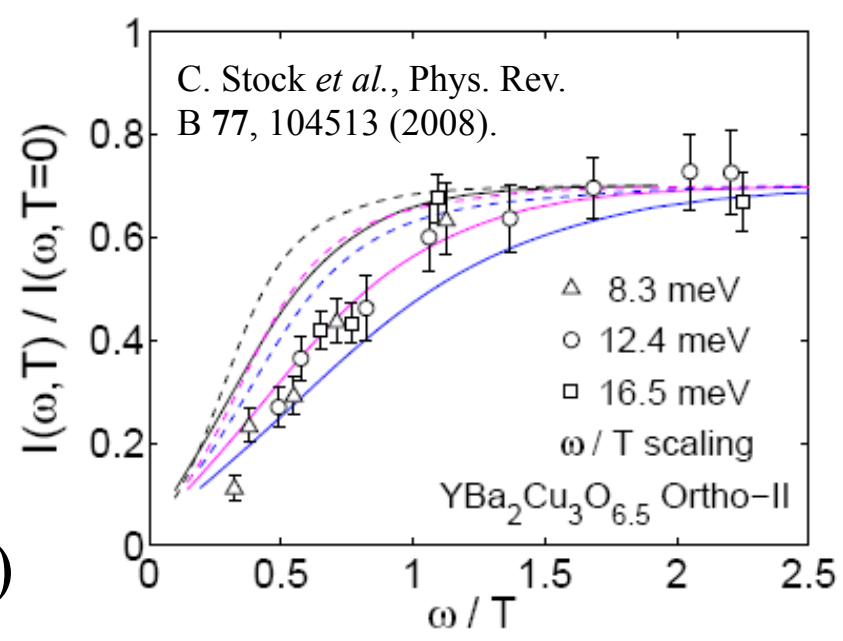
Данные ЯКР: Imai et al., PRL **70**, 1002 (1993)

Неупругое рассеяние нейтронов

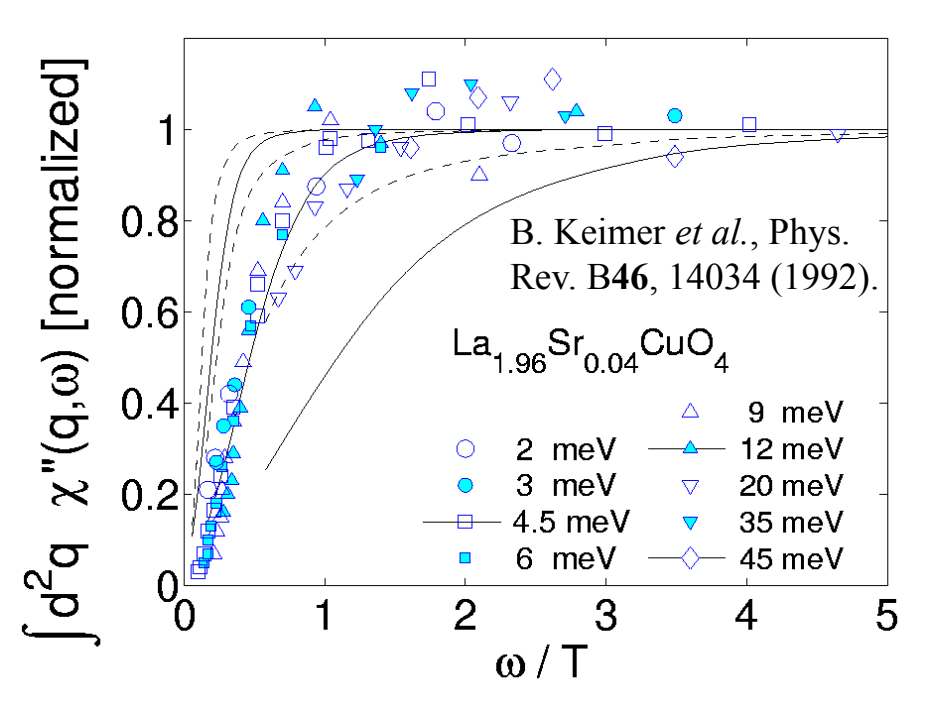
---- (A)

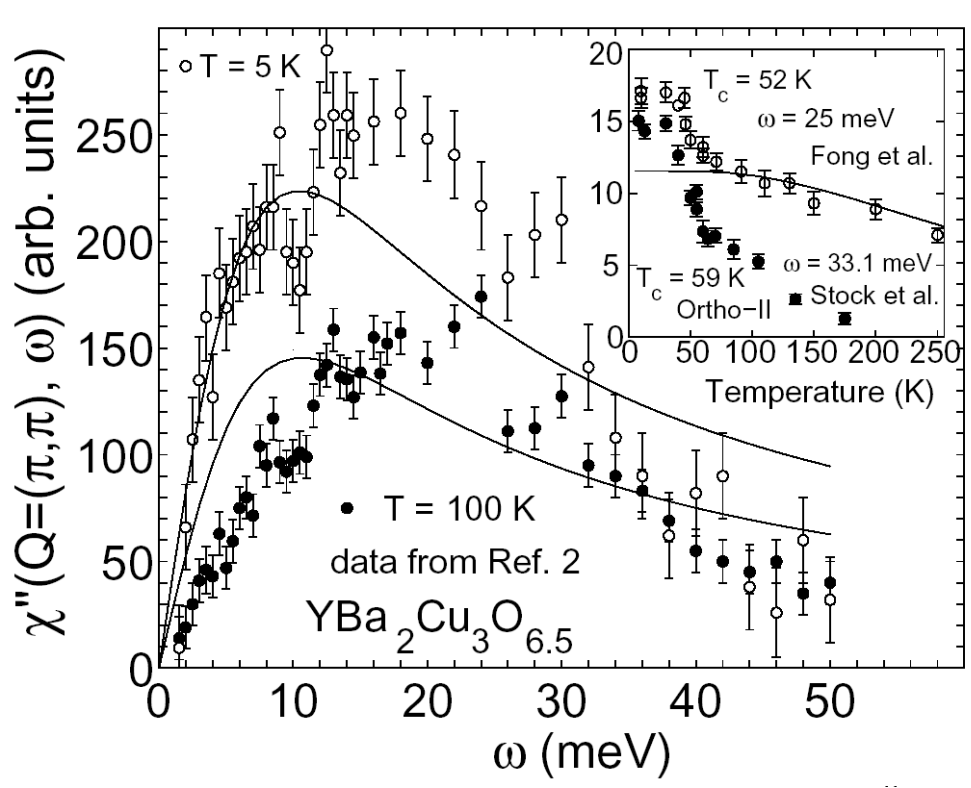
----(B)

 ω / **T** скейлинг: χ "(ω ,T) = $\int \chi$ "(\mathbf{q},ω ,T) $d^2 \mathbf{q} \approx \chi$ "(ω ,T \rightarrow 0) $f(\omega$ /T)



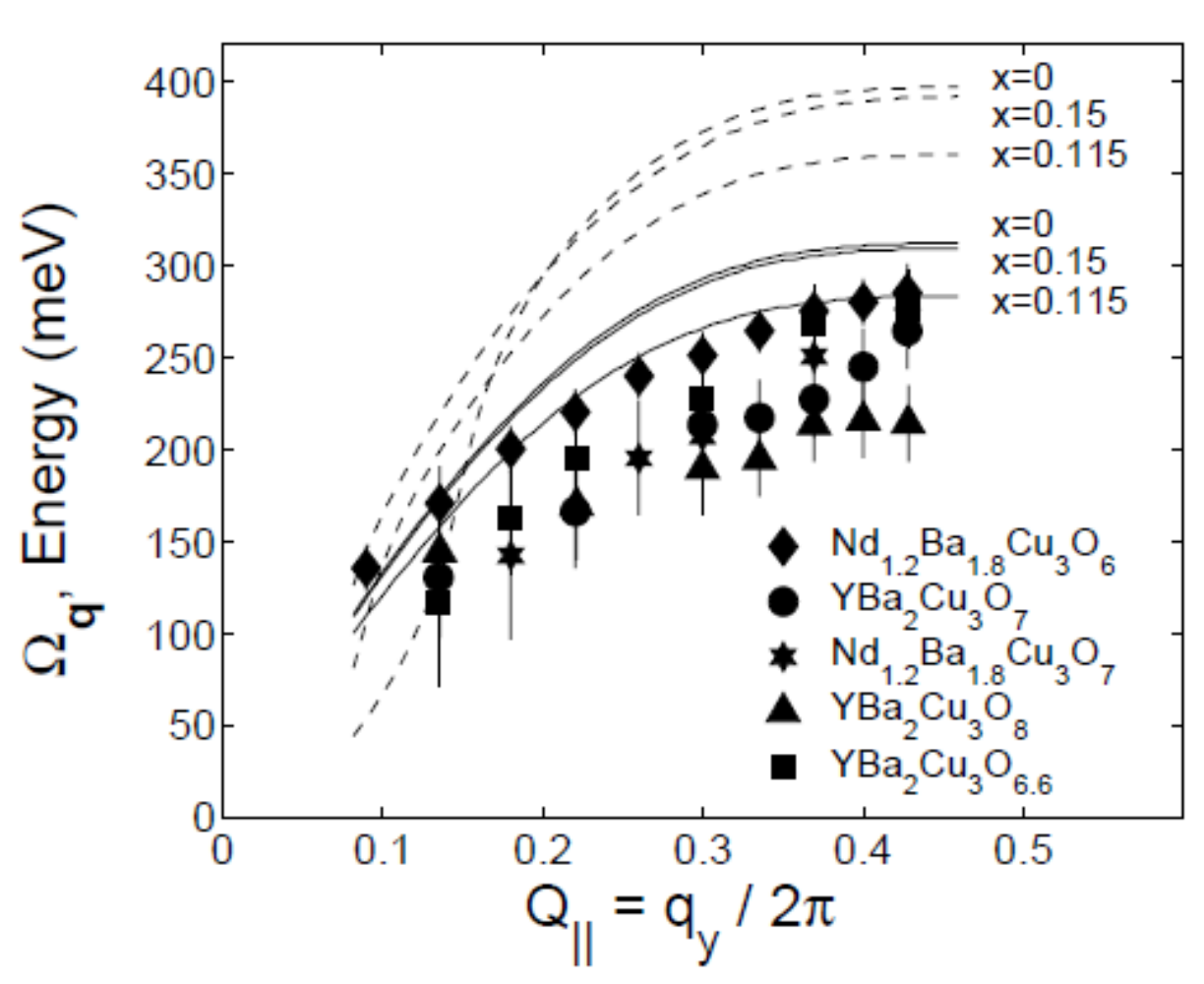
IAL, Phys. Rev. B **72**, 094505 (2005):



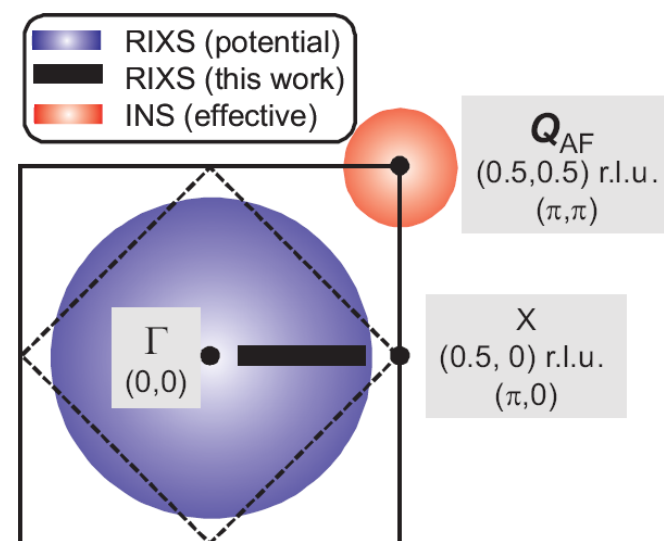


RIXS - resonant inelastic X-ray scattering (Резонансное неупругое рассеяние рентгеновских лучей) Le Tacon, M. *et al. Nature Phys.* 7, 725–730 (2011):

Magnon dispersion



"As a major result, we demonstrate the existence of spin-wave-like dispersive magnetic excitations (paramagnons) ..."

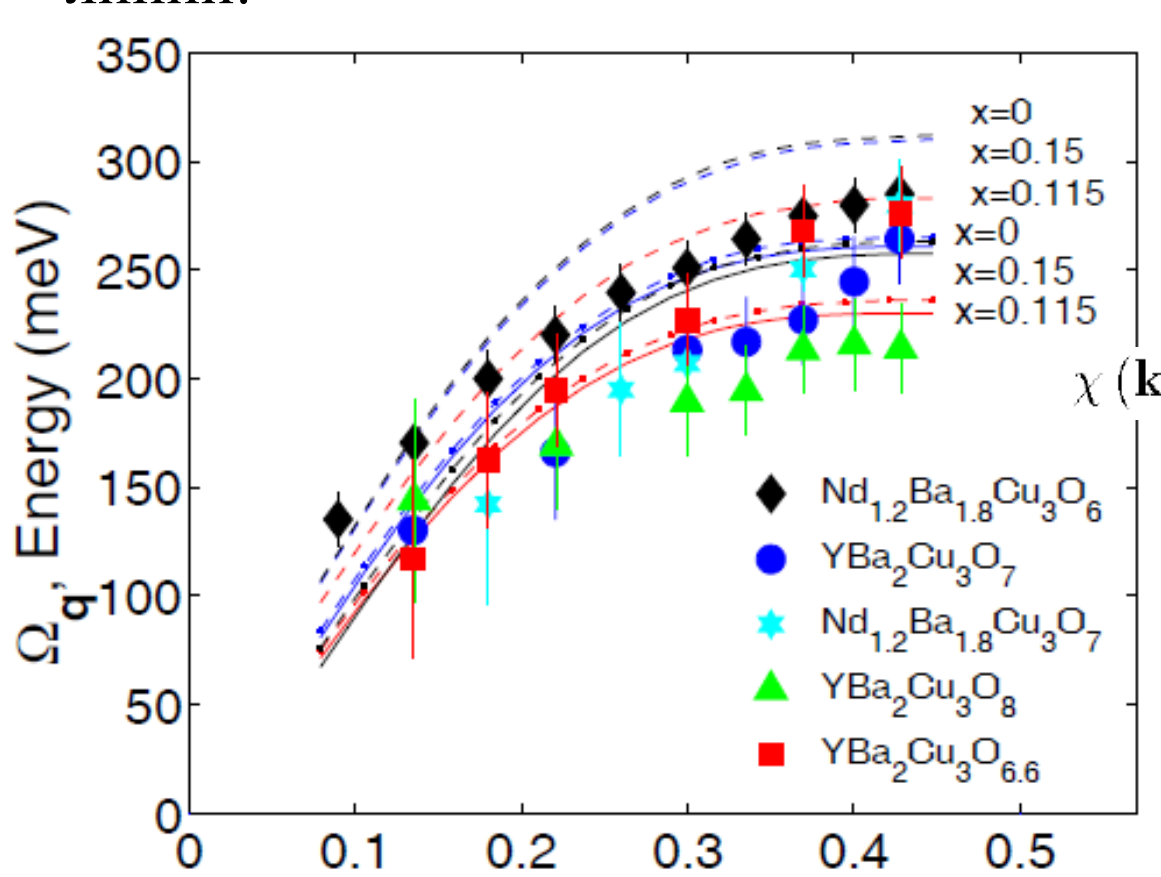


Штриховые линии:

$$\chi_{L1}^{"}(\mathbf{k},\omega) = \frac{\chi(\mathbf{k})\,\omega\,\Gamma_{\mathbf{k}}}{(\omega - \omega_{\mathbf{k}}^{sw})^2 + \Gamma_{\mathbf{k}}^2} + \frac{\chi(\mathbf{k})\,\omega\,\Gamma_{\mathbf{k}}}{(\omega + \omega_{\mathbf{k}}^{sw})^2 + \Gamma_{\mathbf{k}}^2},$$
$$\Omega_{\mathbf{k}} = \omega_{Res} = \sqrt{(\omega_{\mathbf{k}}^{sw})^2 + \Gamma_{\mathbf{k}}^2},$$

Штрихпунктирные линии:

$$\chi_{AL}^{\prime\prime}\left(\mathbf{k},\omega\right) \propto \frac{\Gamma_{\mathbf{k}}}{(\omega - \omega_{\mathbf{k}}^{sw})^{2} + \Gamma_{\mathbf{k}}^{2}} - \frac{\Gamma_{\mathbf{k}}}{(\omega + \omega_{\mathbf{k}}^{sw})^{2} + \Gamma_{\mathbf{k}}^{2}}$$



$$\omega_{AL,Res} \approx \omega_{\mathbf{k}}^{sw} \left[1 + \frac{\Gamma_{\mathbf{k}}^4}{6(\omega_{\mathbf{k}}^{sw})^4}\right]$$

Сплошные линии: $\omega_{\mathbf{k}}^{sw}$

$$\begin{array}{c|c} \uparrow \uparrow & \chi\left(\mathbf{k},\omega\right) = \eta_{\mathbf{k}}/[(\omega_{\mathbf{k}}^{sw})^2 - \omega^2 + i \varGamma_{\mathbf{k}}\omega] \\ \\ \mathrm{Nd_{1.2}Ba_{1.8}Cu_3O_6} & \omega_{S,Res} \approx \omega_{\mathbf{k}}^{sw}\big[1 - \frac{\varGamma_{\mathbf{k}}^2}{8(\omega_{\mathbf{k}}^{sw})^2}\big] \end{array}$$

Magnon dispersion

RIXS - resonant inelastic X-ray scattering Le Tacon, M. *et al. Nature Phys. 7*, 725–730 (2011):

I.A. Larionov, Solid State Comm. 208, 29 (2015)

И. А. Ларионов, НИТУ «МИСиС», КФУ А. Ф. Барабанов, Институт физики высоких давлений

Нормальное состояние ВТСП купратов существенно отличается от свойств обычных металлов из-за сильных электронных корреляций.

Необычными являются и транспортные свойства, линейная зависимость электросопротивления $\rho(T)$, сильная зависимость от температуры коэффициентов Холла $R_H(T)$ и термо-ЭДС Q(T).

В рамках многомоментного приближении для неравновесной функции распределения с анизотропией рассеяния носителей удаётся качественно объяснить поведение электросопротивления, коэффициента Холла и термо-ЭДС как функции температуры в оптимально легированных слоистых сверхпроводящих купратах.

Макроскопические кинетические коэффициенты

$$\mathbf{J} = L_{EE} \mathbf{E} + L_{ET} \nabla T ,$$

$$\mathbf{U} = L_{TE} \mathbf{E} + L_{TT} \nabla T .$$

Электропроводность σ : $\mathbf{J} = \sigma \ \mathbf{E}$, $\sigma = L_{EE}$

Теплопроводность κ : $\mathbf{U} = -\kappa \nabla T$

Образец электрически изолирован: $\mathbf{J} = 0$

$$\mathbf{E} = \frac{-L_{ET}}{L_{EE}} \nabla T \qquad \qquad \kappa = -\left(L_{TT} - \frac{L_{TE} L_{ET}}{L_{EE}}\right)$$

Термо - ЭДС Q: $\mathbf{E} = Q \nabla T$

$$Q = \frac{-L_{ET}}{L_{EE}}$$
 - дифференциальная термо-ЭДС

Гамильтониан

$$\hat{H} = \hat{H}_0 + \hat{H}_1, \quad \hat{H}_0 = \hat{H}_h + \hat{I}, \quad \hat{H}_1 = \hat{J} + \hat{H}_f$$

$$\hat{H}_h = \sum_{\mathbf{k},\sigma} \varepsilon_{\mathbf{k}} a_{\mathbf{k}\sigma}^{\dagger} a_{\mathbf{k}\sigma}, \qquad \hat{J} = \frac{J}{\sqrt{N}} \sum_{\mathbf{k},\mathbf{q},\gamma_1,\gamma_2} a_{\mathbf{k}+\mathbf{q},\gamma_1}^{\dagger} S_{\mathbf{q}}^{\alpha} \hat{\sigma}_{\gamma_1\gamma_2}^{\alpha} a_{\mathbf{k}\gamma_2},$$

$$\hat{I} = \frac{1}{I_1} \sum_{\mathbf{k}} S_{\mathbf{p}+\sigma}^{\alpha} S_{\mathbf{p}}^{\alpha} + \frac{1}{I_2} \sum_{\mathbf{k}} S_{\mathbf{p}+\sigma}^{\alpha} S_{\mathbf{p}}^{\alpha}, \quad \hat{\sigma}^{\alpha} - \text{матрицы Паули}$$

$$\hat{I} = \frac{1}{2} I_1 \sum_{\mathbf{R}, \mathbf{g}} S_{\mathbf{R} + \mathbf{g}}^{\alpha} S_{\mathbf{R}}^{\alpha} + \frac{1}{2} I_2 \sum_{\mathbf{R}, \mathbf{d}} S_{\mathbf{R} + \mathbf{d}}^{\alpha} S_{\mathbf{R}}^{\alpha}, \quad \hat{\sigma}^{\alpha}$$
 — матрицы Паули,

А.М. Белемук, А.Ф. Барабанов,

$$\varepsilon_{\mathbf{k}} = \tau \left[a_1 \gamma_g(\mathbf{k}) + a_2 \gamma_g^2(\mathbf{k}) + a_3 \gamma_d(\mathbf{k}) + 3 \gamma_d(\mathbf{k}) + a_4 \gamma_d^2(\mathbf{k}) + a_5 \gamma_g(\mathbf{k}) \gamma_d(\mathbf{k}) \right] - \mu$$

Л.А. Максимов,

ЖЭТФ 129, 493 (2006)

$$\gamma_g(\mathbf{k}) = \left[\cos(k_x a) + \cos(k_y a)\right]/2,$$
 - гарм $\gamma_d(\mathbf{k}) = \cos(k_x a)\cos(k_y a),$ квах

- гармоники квадратной симметрии

$$\tau = 0.2 \text{ sB}, a_1 = 1.5, a_2 = 3.0, a_3 = -1.25, a_4 = 0.0, a_5 = 0.1$$

 $I_1 = (1-p)I$ и $I_2 = pI$ — константы обменного взаимодействия J — константа спин-фермионного обмена p — параметр фрустрации (легирование (допирование))

Формализм матрицы плотности

Отклонение от равновесия:

$$\hat{
ho}'=\hat{
ho}^{00}\hat{F},\quad \hat{
ho}^{00}=rac{1}{Z}\exp\left(-rac{\hat{H}_0}{T}
ight),\quad Z=\mathrm{Sp}\{\hat{H}_0\} \qquad \hat{F}=\sum_l\eta_l\hat{F}_l$$
 $\hat{F}_l=\sum_{\mathbf{k},\sigma}F_l(\mathbf{k})a^{\dagger}_{\mathbf{k}\sigma}a_{\mathbf{k}\sigma},\qquad [\hat{F}_l,\hat{H}_0]=0,\quad \langle\hat{F}_l\rangle\equiv\mathrm{Sp}\{\hat{
ho}^{00}\hat{F}_l\}=0$ $g_{\mathbf{k}}=-rac{\partial f^0}{\partial arepsilon_{\mathbf{k}}}\Phi_{\mathbf{k}},\quad \Phi_{\mathbf{k}}=\sum_l\eta_lF_l(\mathbf{k})\qquad F^E(\mathbf{k})=\sum_l\eta_l^EF_l^E(\mathbf{k}),$ $F(\mathbf{k})=F^E(\mathbf{k})+F^H(\mathbf{k}),\quad F^H(\mathbf{k})=\sum_l\eta_l^FF_l^H(\mathbf{k})$ Необходим учет анизотропии рассеяния:

$$F_l^E(\mathbf{k}) = \left\{ v_{\mathbf{k}}^x, \, (v_{\mathbf{k}}^y)^2 v_{\mathbf{k}}^x, \, \frac{\partial v_{\mathbf{k}}^x}{\partial y} v_{\mathbf{k}}^y, \, \frac{\partial v_{\mathbf{k}}^y}{\partial y} v_{\mathbf{k}}^x, \, \frac{\partial v_{\mathbf{k}}^x}{\partial x} \frac{\partial v_{\mathbf{k}}^x}{\partial y} v_{\mathbf{k}}^x, \, (v_{\mathbf{k}}^x)^3, \frac{\partial v_{\mathbf{k}}^x}{\partial x} v_{\mathbf{k}}^x \right\}$$

$$F_l^H(\mathbf{k}) = \left\{ v_{\mathbf{k}}^y, \, (v_{\mathbf{k}}^x)^2 v_{\mathbf{k}}^y, \, \frac{\partial v_{\mathbf{k}}^x}{\partial y} v_{\mathbf{k}}^x, \, \frac{\partial v_{\mathbf{k}}^x}{\partial x} v_{\mathbf{k}}^y, \, \, \frac{\partial v_{\mathbf{k}}^x}{\partial x} \frac{\partial v_{\mathbf{k}}^x}{\partial y} v_{\mathbf{k}}^y, \, \, \frac{\partial v_{\mathbf{k}}^x}{\partial y} v_{\mathbf{k}}^y, \, (v_{\mathbf{k}}^y)^3, \, \frac{\partial v_{\mathbf{k}}^y}{\partial y} v_{\mathbf{k}}^y \right\}$$

Для свободных электронов: $R_H = \frac{1}{nec}$

Проводимость σ (электросопротивление ρ):

$$j^x=\sigma E^x=rac{1}{a^2a_z}\sum_{\mathbf{k},\sigma}ev^x_{\mathbf{k}}g^E_{\mathbf{k}}=$$
 Коэфф. Холла R_H : $E^y=R_Hj^xH^z$.

$$= \frac{2eZ}{a^2 a_z} \sum_{l} \eta_l^E \sum_{\mathbf{k}} v_{\mathbf{k}}^x \left(-\frac{\partial f_{\mathbf{k}}^0}{\partial \varepsilon_{\mathbf{k}}} \right) T F_l^E(\mathbf{k}),$$

Точная функция Грина $G^z(\mathbf{q},\omega)=rac{F_{\mathbf{q}}}{\omega^2-\omega_{\mathbf{q}}^2-M(\mathbf{q},\omega)}; \quad M\approx -i\omega\gamma$

$$G^{z}(\mathbf{q},\omega) = \frac{F_{\mathbf{q}}}{\omega^{2} - \omega_{\mathbf{q}}^{2} + i\omega\gamma} \Rightarrow Im \,\chi(\mathbf{q},\omega) = \frac{\gamma\omega F_{\mathbf{q}}}{(\omega^{2} - \omega_{\mathbf{q}}^{2})^{2} + \gamma^{2}\omega^{2}}$$

Мнимая часть динамической спиновой восприимчивости:

$$\operatorname{Im} \chi(\mathbf{q}, \omega = \varepsilon_{\mathbf{k}+\mathbf{q}} - \varepsilon_{\mathbf{k}}) = \frac{F_{\mathbf{q}}(\varepsilon_{\mathbf{k}+\mathbf{q}} - \varepsilon_{\mathbf{k}})\gamma}{\left[(\varepsilon_{\mathbf{k}+\mathbf{q}} - \varepsilon_{\mathbf{k}})^{2}(1 - e_{w}) - \omega_{\mathbf{q}}^{2}\right]^{2} + (\varepsilon_{\mathbf{k}+\mathbf{q}} - \varepsilon_{\mathbf{k}})^{2}\gamma^{2}}$$

 $\gamma = 0.2$ – затухание парамагнонов

 $\omega_{\mathbf{q}}$ – дисперсия парамагнонов

$$F_{\mathbf{q}} = -8 \left\{ I_1 c_g \left[1 - \gamma_g(\mathbf{q}) \right] + I_2 c_d \left[1 - \gamma_d(\mathbf{q}) \right] \right\}$$

$$e_w - napamemp$$

Термо-ЭДС
$$Q = E/\nabla T$$

Следует выбрать функцию распределения более общего вида, чем раньше, чтобы получить одновременно

электрический ток и поток тепла.

$$X_l^E = \sum_{\mathbf{k}} Z_{\mathbf{k}} F_l(\mathbf{k}) e E^x v_{\mathbf{k}}^x \left(\frac{-\partial f_{\mathbf{k}}^0}{\partial \varepsilon_{\mathbf{k}}} \right),$$

$$U_{j} = Z \sum_{\mathbf{k}} F_{j}(\mathbf{k}) (\varepsilon_{\mathbf{k}} - \mu) e E^{x} v_{\mathbf{k}}^{x} \left(-\frac{\partial f_{\mathbf{k}}^{0}}{\partial \varepsilon_{\mathbf{k}}} \right)$$

Поскольку есть поток тепла

$$\{A_l^x(\mathbf{k})\} = \{F_l(\mathbf{k}), F_l(\mathbf{k})\varepsilon_{\mathbf{k}}\}$$

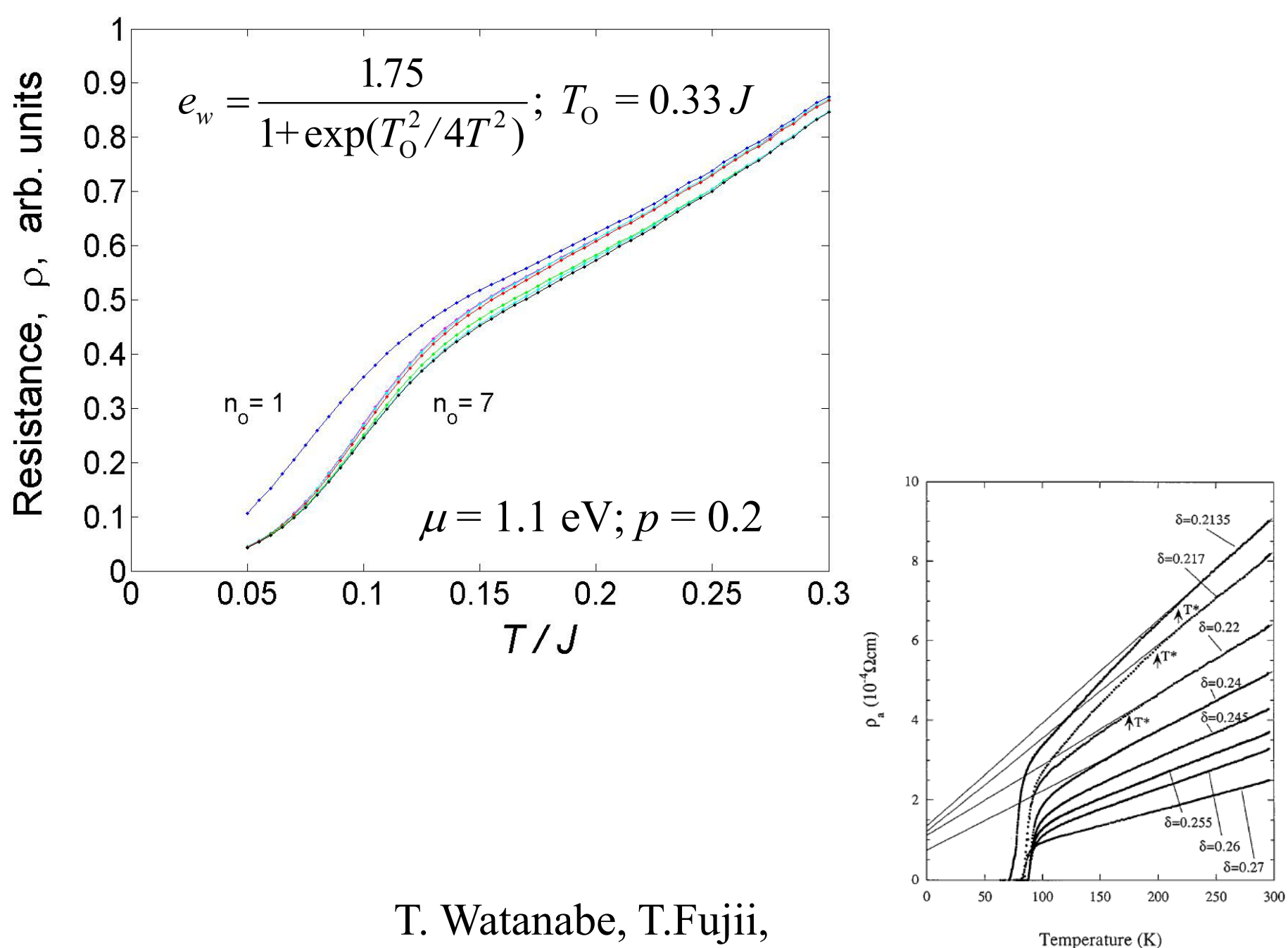
 $Q = -\frac{\sum_{ij} X_i^E (P^{-1})_{ij} U_j}{T \sum_{ij} X_i^E (P^{-1})_{ij} X_j^E},$

 $X_l^E = \sum_{l'} P_{ll'} \eta_{l'}^E,$

Дж. Займан, Электроны и фононы, Теория явлений переноса в твёрдых телах, М. 1962

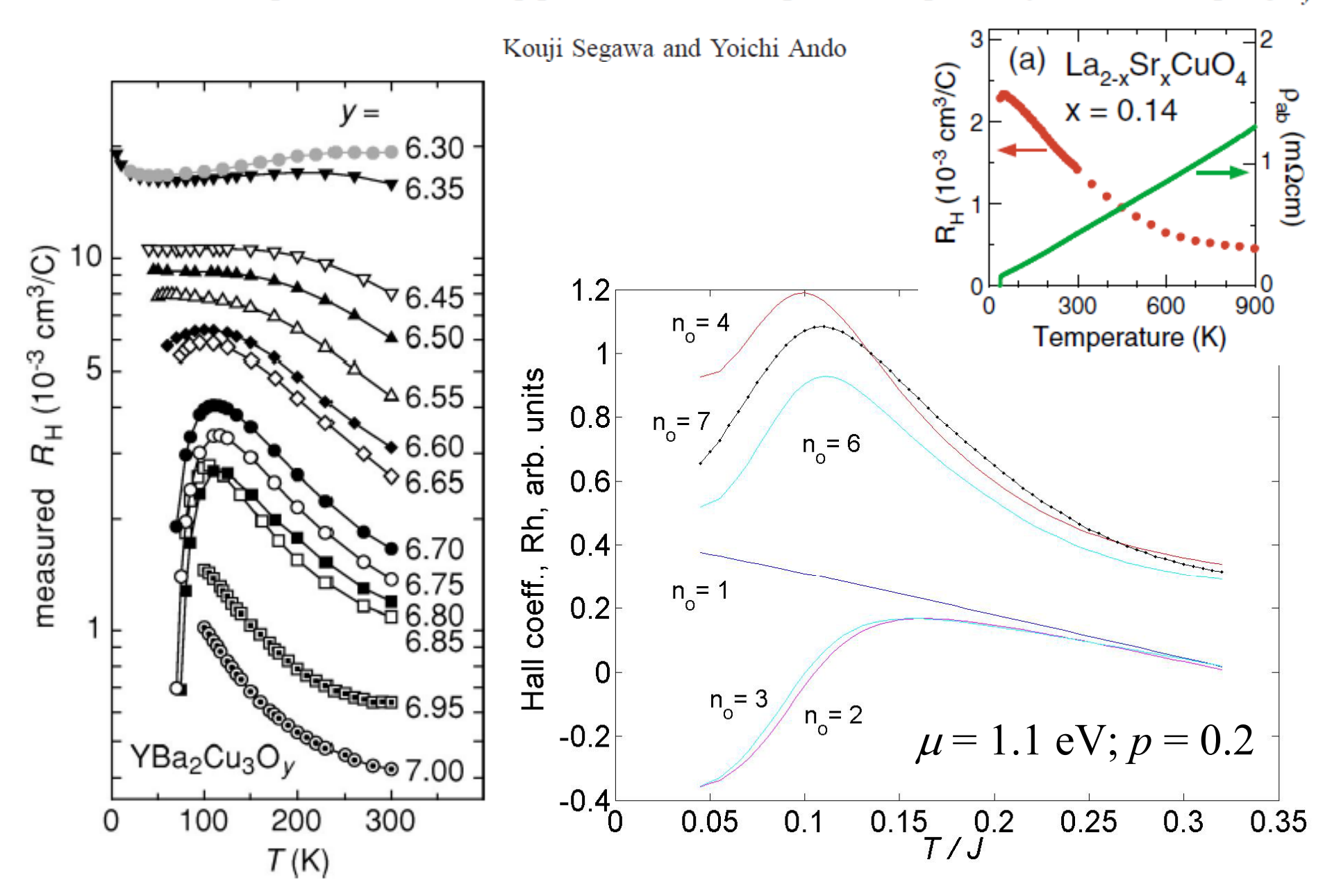
$$P_{ll'} = \sum_{\mathbf{k},\mathbf{q}} F_l(\mathbf{k}) C_{\mathbf{k},\mathbf{k+q}} [F_{l'}(\mathbf{k}) - F_{l'}(\mathbf{k+q})].$$

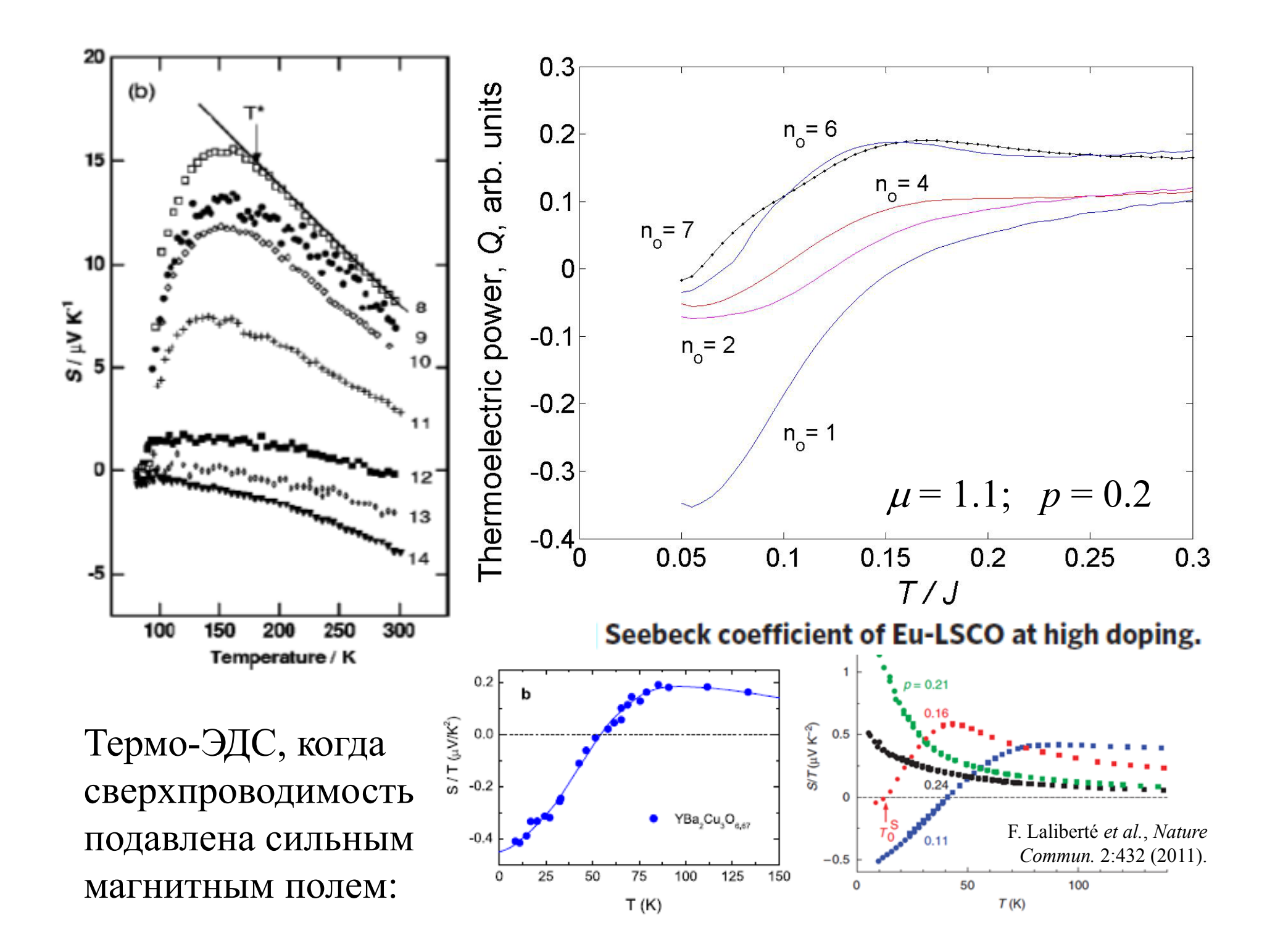
$$C_{\mathbf{k},\mathbf{k}+\mathbf{q}} = 2J^2Z^2f_{\mathbf{k}}^0(1 - f_{\mathbf{k}+\mathbf{q}}^0)n_B(\varepsilon_{\mathbf{k}+\mathbf{q}} - \varepsilon_{\mathbf{k}})\operatorname{Im}\chi(\mathbf{q},\varepsilon_{\mathbf{k}+\mathbf{q}} - \varepsilon_{\mathbf{k}}).$$

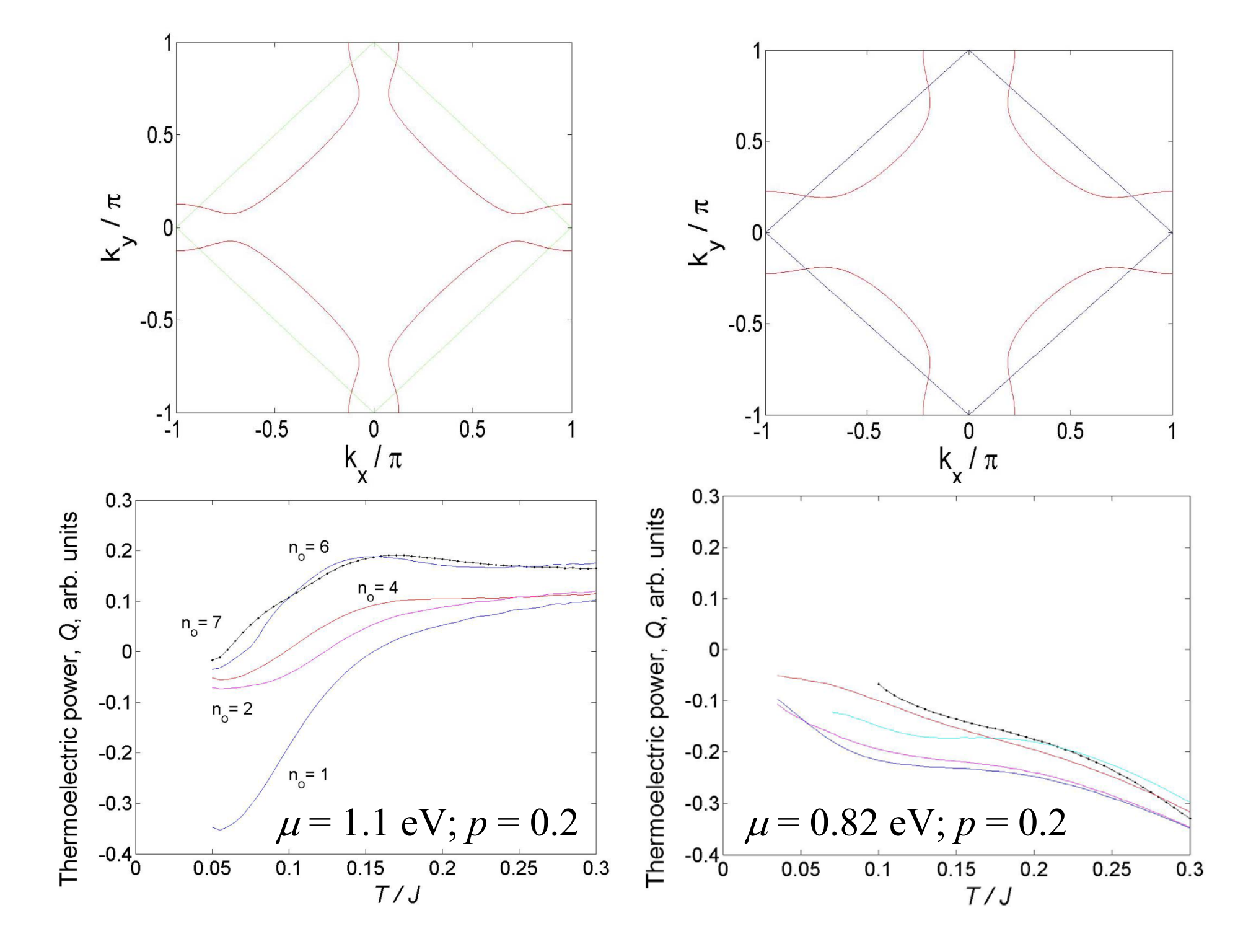


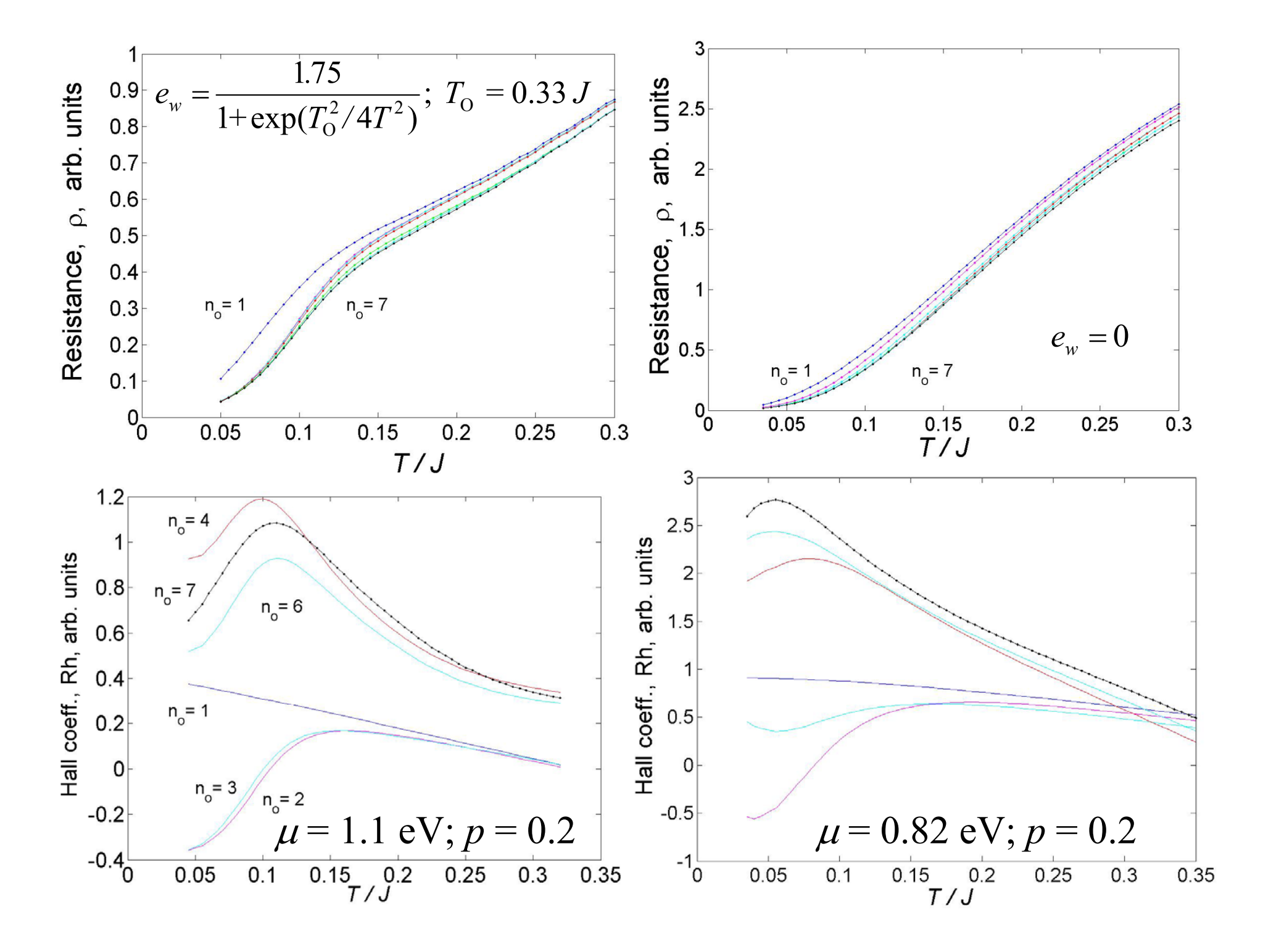
A. Matsuda, PRL 1997 FIG. 2. In-plane resistivities ρ_a of Bi₂Sr₂CaCu₂O_{8+ δ} single crystals versus temperature for various oxygen contents (δ).

Intrinsic Hall response of the CuO2 planes in a chain-plane composite system of YBa2Cu3Ov









Волны зарядовой плотности (CDW): аномалия х≈1/8 в слоистых купратах

RXS: S. Blanco-Canosa *et al.*, Phys. Rev. **B 90**, 054513 (2014)

K. Kumagai *et al.*, Physica C **235-240**, 1715 (1994)

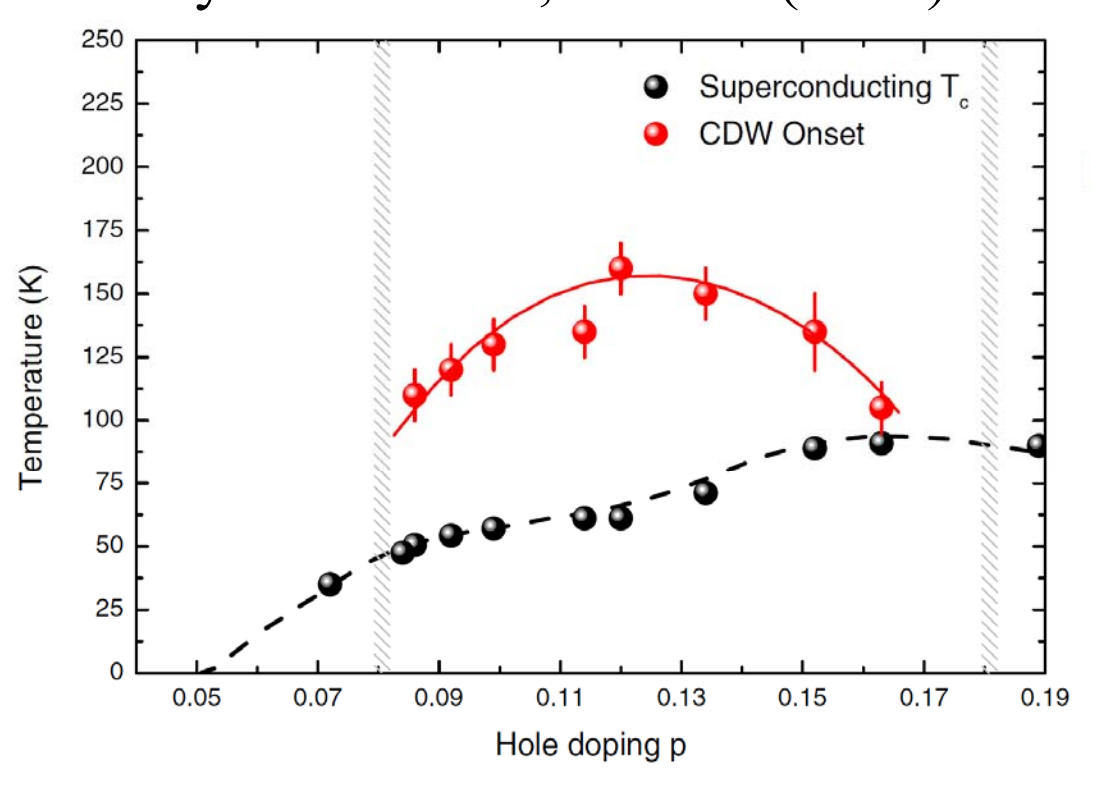


FIG. 10. (Color online) Doping dependence of the onset temperature of the CDW in YBa₂Cu₃O_{6+x}. The point at $p \sim 0.13$ has been taken from Ref. [23].

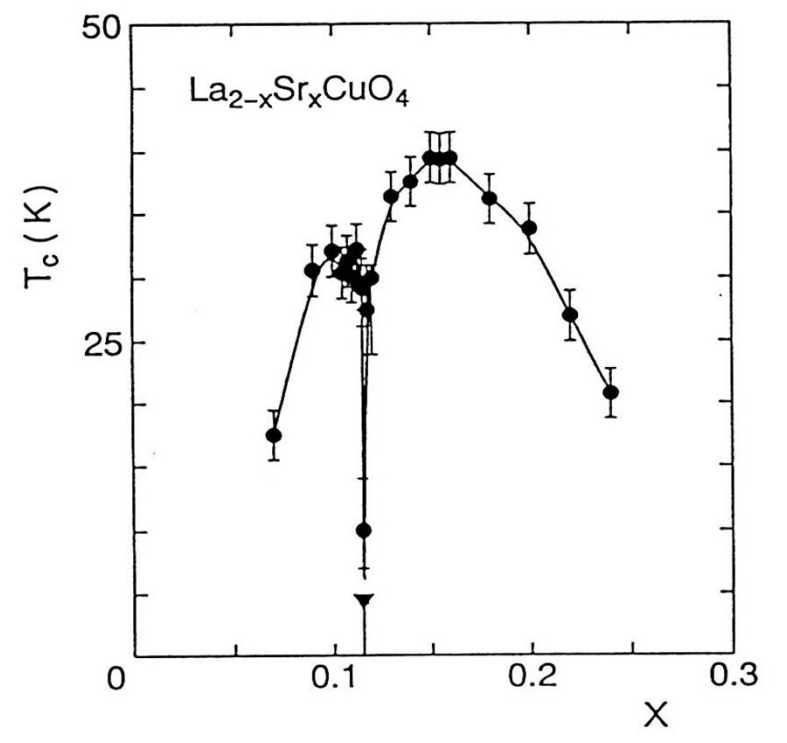


Fig.1. X-dependence of superconducting transition temperature, T_c, of La_{2-x}Sr_xCuO₄. ▼ for x=0.115 shows no indication of SC down to 4.2K.

A.R. Moodenbaugh et al., Phys. Rev. B 38 (1988) 4596.

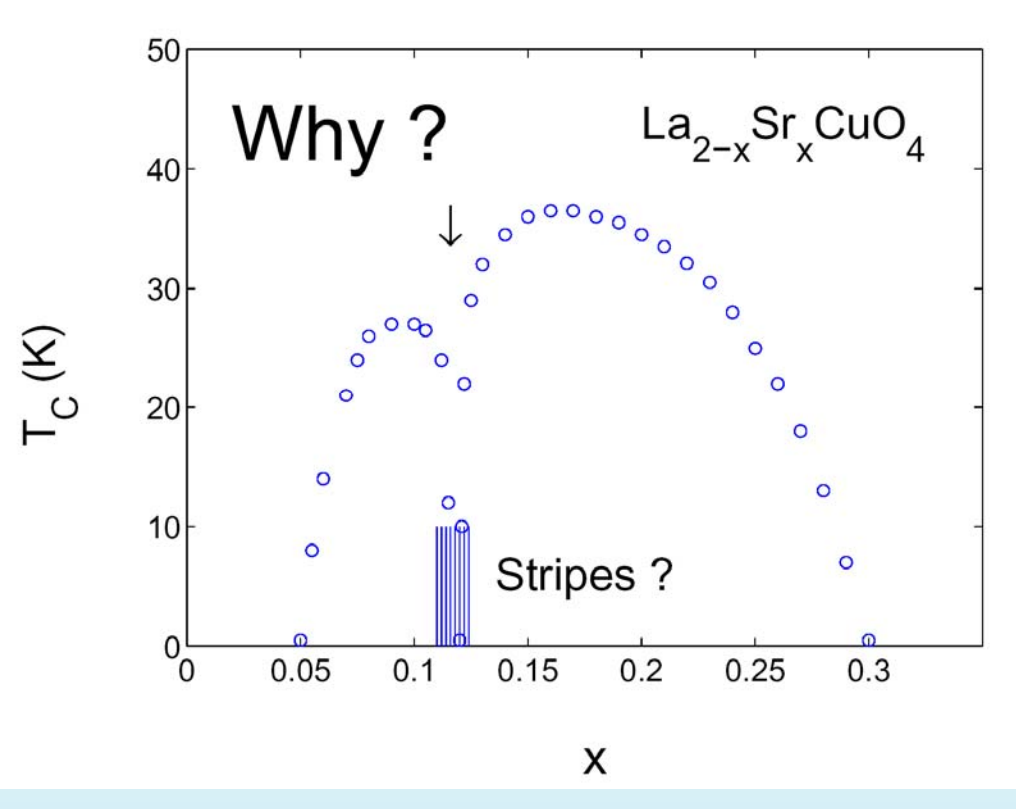
(Nd,Eu)y(Ba,Sr)x(UO4) K. Kumagai et al., J. Magn. Mater 76-77 (1988) 601;

K. Kumagai et al., Physica C 235-240 (1994) 1715.

J.M. Tranquada et al., Nature 375 (1995) 561;

J.M. Tranquada et al., Phys. Rev B 54 (1996) 7489;

J.M. Tranquada et al., Phys. Rev. Lett. 78 (1997) 338.



для La_{2-x-v}(Nd,Eu)_v(Ba,Sr)_xCuO₄ и других ВТСП купратов.

Висмутовые ВТСП купраты

M.Akoshima et al., Phys. Rev. B 57 (1998) 7491 W.L. Yang et al., Phys. Rev. B **62** (2000) 1361 I.Watanabe et al., Phys. Rev. B **62** (2000) 14524



I.A.Larionov and M.V. Eremin, J. Supercond. 15, 389 (2002); Journal of Magnetism and Magnetic Materials 272–276, 181 (2004)

Модельный Гамильтониан:

$$H = \sum_{i,j} t_{ij} \Psi_i^{pd,\sigma} \Psi_j^{\sigma,dp} + \sum_{l>m} J_{lm} \left[(\mathbf{S}_l \mathbf{S}_m) - \frac{n_l n_m}{4} \right] + \sum_{l>m} G_{lm} \delta_l \delta_m,$$

$$+\sum_{l>m}G_{lm}\delta_{l}\delta_{m},$$

 $\delta_l = 1 - n_l$ - число допированных дырок на ячейку, $\Psi_i^{\,pd,\,\sigma}(\Psi_i^{\,\sigma,dp})$ - операторы рождения (уничтожения) на основе состояний меди (d) и кислорода (p).

M.V. Eremin et al., Solid State Comm. 88 (1993) 15; M.V. Eremin et al., JETP Lett. 60 (1994) 125; M.V. Eremin et al., JETP 85 (1997) 963; F.C. Zhang and T.M. Rice, Phys. Rev. B 37 (1988) 3759.



$$t_n^{eff} = t_n P_{pd} \left[1 + \frac{\langle \mathbf{S}_i \mathbf{S}_j \rangle_n}{P_{pd}^2} + \frac{1}{8} \langle \mathbf{e}_i \mathbf{e}_j \rangle_n \right], \quad P_{pd} = (1+x)/2,$$

$$x \approx 1/8$$
: $\langle S_i S_j \rangle_1 \approx -P_{pd}^2 \approx -0.31$, $\to t_1^{eff} = 0$

$$\varepsilon_{\mathbf{k}}^{eff} = 4t_2^{eff} \cos k_x \cos k_y + 2t_3^{eff} (\cos 2k_x + \cos 2k_y)$$

$$\varepsilon_{\mathbf{k}}^{\sigma} = P_{pd} \sum_{i,j} t_{ij} \left[1 + \frac{\langle \mathbf{S}_{i} \mathbf{S}_{j} \rangle_{n}}{P_{pd}^{2}} \right] e^{i\mathbf{k}\mathbf{R}_{ij}} -$$

$$\frac{1}{2NP_{nd}} \sum_{\mathbf{k'}} \left[\left(J_{\mathbf{k'-k}} - 2t_{\mathbf{k'}} \right) \langle X_{\mathbf{k'}}^{2\bar{\sigma}} X_{\mathbf{k'}}^{\bar{\sigma}2} \rangle + 2G_{\mathbf{k'-k}} \langle X_{\mathbf{k'}}^{2\sigma} X_{\mathbf{k'}}^{\sigma2} \rangle \right]$$

I.A.Larionov and M.V. Eremin, J. Supercond. 15 (2002) 389

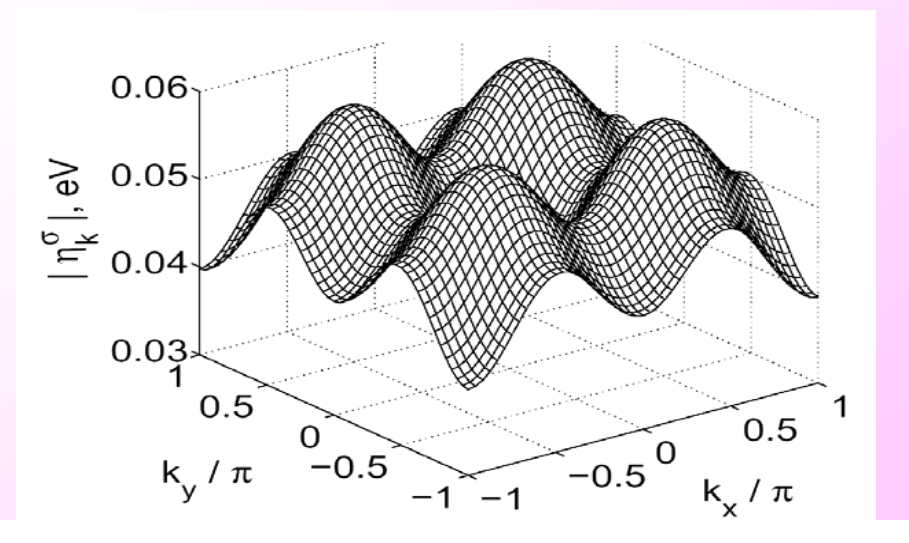
$$\eta_{\mathbf{k},\mathbf{Q}}^{\sigma} = \left[t_{\mathbf{k}+\mathbf{Q}} - \frac{\sum \langle \mathbf{S}_{i} \mathbf{S}_{j} \rangle t_{ij} e^{i\mathbf{k}\mathbf{R}_{ij}}}{P_{pd}^{2}} + \frac{\left(\sum \langle \mathbf{S}_{i} \mathbf{S}_{j} \rangle J_{ij} e^{i\mathbf{k}\mathbf{R}_{ij}}\right)_{\mathbf{k}=\mathbf{0}}}{2P_{pd}^{2}} - \frac{1}{2} J_{\mathbf{Q}} \right] \left\langle \frac{1}{2} e_{\mathbf{Q}} + \sigma s_{\mathbf{Q}}^{z} \right\rangle + \\
+ \frac{1}{2NP_{pd}^{2}} \sum_{\mathbf{k}'} \left[\left(J_{\mathbf{k}'-\mathbf{k}} - 2t_{\mathbf{k}'} \right) \left\langle X_{\mathbf{k}'}^{2\tilde{\sigma}} X_{\mathbf{k}'}^{\tilde{\sigma}2} \right\rangle + 2G_{\mathbf{k}'-\mathbf{k}} \left\langle X_{\mathbf{k}'}^{2\sigma} X_{\mathbf{k}'}^{\sigma2} \right\rangle \right] \left\langle \frac{1}{2} e_{\mathbf{Q}} + \sigma s_{\mathbf{Q}}^{z} \right\rangle - \\
- \frac{1}{2NP_{pd}} \sum_{\mathbf{k}'} \left[\left(J_{\mathbf{k}'-\mathbf{k}} - 2t_{\mathbf{k}'} \right) \left\langle X_{\mathbf{k}'+\mathbf{Q}}^{2\tilde{\sigma}} X_{\mathbf{k}'}^{\tilde{\sigma}2} \right\rangle + 2G_{\mathbf{k}'-\mathbf{k}} \left\langle X_{\mathbf{k}'+\mathbf{Q}}^{2\sigma} X_{\mathbf{k}'}^{\sigma2} \right\rangle \right] + G_{\mathbf{Q}} e_{\mathbf{Q}},$$

При $t_{\cdot 1}^{eff} = 0$, $\mathbf{Q} = (\pi, \pi)$: $\eta_{\mathbf{k}, \mathbf{Q}}^{\sigma} = \eta_{\mathbf{k} + \mathbf{Q}, -\mathbf{Q}}^{\sigma}$ - нет затухания! М. Eremin and A. Rigamonti, Phys. Rev. Lett. **88** (2002) 037002.

$$J_{k} = 2J(\cos k_{x} + \cos k_{y}),$$

 $J = 135 \text{ meV B La}_{2}\text{CuO}_{4},$
 $G_{k} = 2G(\cos k_{x} + \cos k_{y}),$

$$G_{\mathbf{Q}}/G = -4$$
 при $\mathbf{Q} = (\pi,\pi)$.



$$E_{1\mathbf{k},2\mathbf{k}}^{\sigma} = \frac{1}{2} (\varepsilon_{\mathbf{k}+\mathbf{Q}}^{\sigma} + \varepsilon_{\mathbf{k}}^{\sigma}) - \mu \pm \frac{1}{2} E_{12}^{\sigma}$$

$$E_{12}^{\sigma} = \sqrt{(\varepsilon_{\mathbf{k}+\mathbf{Q}}^{\sigma} - \varepsilon_{\mathbf{k}}^{\sigma})^2 + 4\eta_{\mathbf{k}+\mathbf{Q},\mathbf{Q}}^{\sigma}\eta_{\mathbf{k},\mathbf{Q}}^{\sigma}}.$$

CDW:
$$\langle e_{\mathbf{Q}} \rangle = \frac{1}{2N} \sum_{\mathbf{k}} \langle X_{\mathbf{k}+\mathbf{Q}}^{2\uparrow} X_{\mathbf{k}}^{\uparrow 2} + X_{\mathbf{k}+\mathbf{Q}}^{2\downarrow} X_{\mathbf{k}}^{\downarrow 2} \rangle$$

SDW:
$$\langle s_{\mathbf{Q}}^z \rangle = \frac{1}{2N} \sum_{\mathbf{k}} \langle X_{\mathbf{k}}^{\uparrow 2} X_{\mathbf{k}+\mathbf{Q}}^{2\uparrow} - X_{\mathbf{k}}^{\downarrow 2} X_{\mathbf{k}+\mathbf{Q}}^{2\downarrow} \rangle$$

$$\langle X_{\mathbf{k}+\mathbf{Q}}^{2\sigma} X_{\mathbf{k}}^{\sigma 2} \rangle = \frac{P_{pd} \eta_{\mathbf{k},\mathbf{Q}}^{\sigma}}{E_{12}^{\sigma}} \left[f(E_{1\mathbf{k}}^{\sigma}) - f(E_{2\mathbf{k}}^{\sigma}) \right]$$



В пределе
$$t_{.2}^{eff}$$
, $t_{.3}^{eff} << G$, $t_{.1}^{eff} = 0$:

$$E_{12}^{\sigma} \approx 2 \mid \eta_{\mathbf{k},\mathbf{Q}}^{\sigma} \mid$$

SDW $\langle s_{\mathbf{Q}}^z \rangle = 0$, CDW $e_{\mathbf{Q}} = 0.5 P_{pd}$.



$La_{2-x}Sr_xCuO_4$ $x \approx 1/8$

$$t_{.1}^{eff} = 0$$
, $|t_{.2}^{eff}| = 10 \text{ meV}$, $t_{.3}^{eff} = 20 \text{ meV}$, $G \approx 75 \text{ meV}$,

$$\langle \mathbf{S}_i \mathbf{S}_j \rangle_2 = 0.15$$
, $\langle \mathbf{S}_i \mathbf{S}_j \rangle_3 = 0$, $T_{\text{CDW}} = 350 \text{ K}$.

Решение при Т \to 0: $e_{\mathbf{Q}} = x$, x - концентрация атомов Sr.

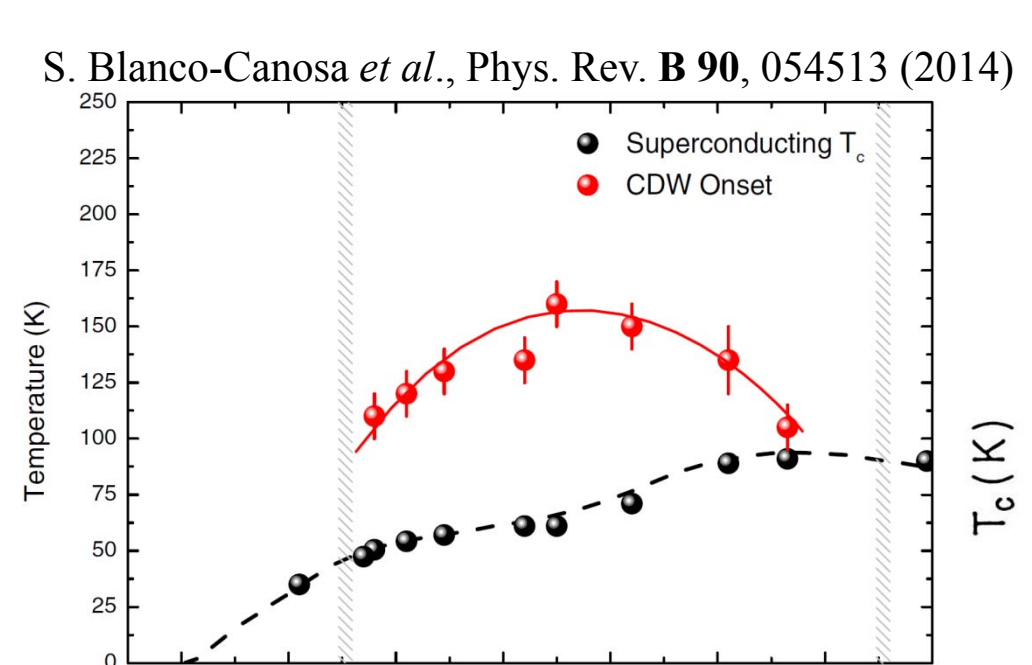


FIG. 10. (Color online) Doping dependence of the onset temperature of the CDW in YBa₂Cu₃O_{6+x}. The point at $p \sim 0.13$ has been taken from Ref. [23].

0.11

Hole doping p

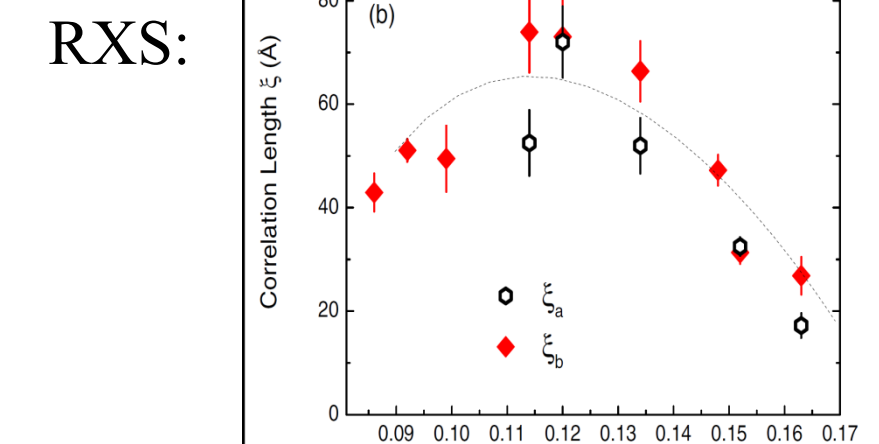
Hole Doping p

0.13

0.15

0.17

0.19



0.09

0.05

0.07

K. Kumagai *et al.*, Physica C **235-240**, 1715 (1994)

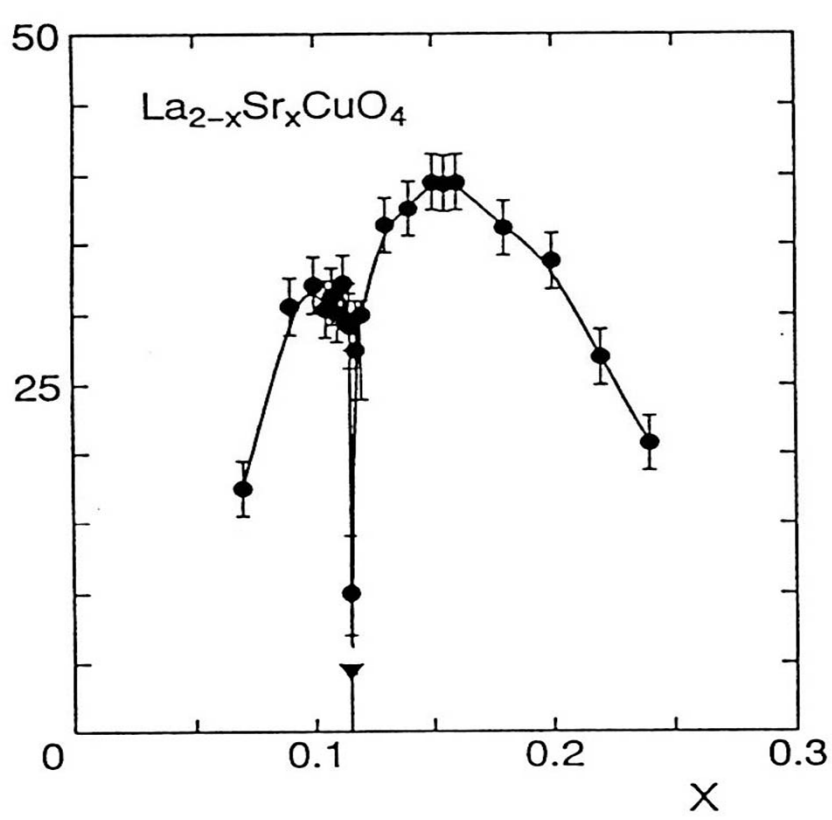


Fig.1. X-dependence of superconducting transition temperature, T_c, of La_{2-x}Sr_xCuO₄. ▼ for x=0.115 shows no indication of SC down to 4.2K.

Corresponding correlation length, defined as $\xi_{a,b} = \frac{a,b}{\pi \times \text{FWHM}}$.

Заключение

- Метод релаксационных функций позволяет объяснить основные особенности поведения динамической спиновой восприимчивости в ВТСП купратах полученные методом неупругого рассеяния нейтронов и ядерного квадрупольного резонанса (ЯКР)
- Затухание элементарных возбуждений парамагнонного вида значительно.
- Простейшая, лорентцева, форма с учетом затухания парамагнонов, для мнимой части динамической спиновой восприимчивости более точно воспроизводит данные неупругого рассеяния нейтронов, RIXS и ЯКР
- Результаты расчета демонстрируют разумное согласие с экспериментально наблюдаемыми зависимостями сопротивления, коэффициента Холла и термо-ЭДС для реалистичного набора параметров модели спиновой подсистемы и параметров зоны проводимости
- Около x = 1/8 существуют волны зарядовой плотности (ВЗП корреляции) (желательны исследования под давлением)